

демпфера в общем случае не совпадает с максимумом демпфирования в системе при кинематическом возмущении. Это объясняется определением минимума максимального значения резонансной характеристики не только величиной демпфирования, но и собственной частотой системы.

Из вышеотмеченного следует, что расчет демпфирующих характеристик в активных пневматических опорах необходимо проводить с учетом специфики их динамического состояния, свойственной системам с релаксационным демпфированием. Суть данной специфики заключается в нахождении границ частотного диапазона демпфирования вязким трением, определяемых параметрами T_2/T_1 , T_3/T_1 , T_4/T_3 , $T_1 \omega_0$, за которыми происходит уменьшение его величины до нуля. Максимальное значение коэффициента передачи опоры не определяется максимумом диссипативной составляющей, а зависит еще и от собственной частоты системы.

Л и т е р а т у р а

1. *Чегодаев Д. Е., Белоусов А. И.* Гидростатические опоры как гасители колебаний.— В сб.: Проектирование и доводка авиационных газотурбинных двигателей. КуАИ, 1974, вып. 67, с. 196—204.
2. *Ruzicka Jerome E.* Active vibration and shock isolation. SAE. Preprints, s. a. № 680747 (рус. пер. Активные виброзащитные системы. Э. И. «Испытательные приборы и стенды». 1969, № 10, реф. 59, с. 14—25).
3. *Чегодаев Д. Е.* Оптимизация демпфирующих свойств газостатических опор.— В сб.: Вибрационная прочность и надежность двигателей и систем летательных аппаратов. КуАИ, 1977, вып. 4, с. 105—109.
4. *Белоусов А. И., Сидоренко А. А., Чегодаев Д. Е.* Методика расчета динамических характеристик активной пневмоопоры.— В сб.: Вибрационная прочность и надежность двигателей и систем летательных аппаратов. КуАИ, 1978, вып. 5, с. 72—78.

УДК 629.7.036.5—522.001.4

В. П. Шорин, В. Я. Свербилов

КОСВЕННЫЙ МЕТОД ЭКСПЕРИМЕНТАЛЬНОГО ОПРЕДЕЛЕНИЯ ЧАСТОТНЫХ ХАРАКТЕРИСТИК ДИНАМИЧЕСКИХ СИСТЕМ

В связи с трудностью построения расчетных моделей устройств и систем гидроавтоматики аналитические способы определения их динамических характеристик не обладают удов-

летворительной точностью. Поэтому нередко идентифицируют характеристики по результатам частотных испытаний.

Известен способ экспериментального определения матрицы частотных характеристик гидравлических систем [1], который позволяет значительно снизить стоимость и трудоемкость испытаний.

Рассмотрим возможности этого метода на примере регулятора расхода топлива прямого действия. Воспользуемся уравнением регулятора в виде

$$\delta G = W_{\varphi} \delta \varphi + W_{\Delta} \delta (\Delta p), \quad (1)$$

где δG , $\delta \varphi$ и $\delta (\Delta p)$ — изображения по Лапласу малых отклонений расхода, площади проходного сечения и перепада давления на регуляторе.

Задачей частотных испытаний регулятора является определение передаточных функций W_{φ} и W_{Δ} . Это можно сделать обычным способом с помощью двух частотных испытаний, в каждом из которых по одному из входов задается возмущение, а на другом поддерживается нулевое граничное условие. Однако в реальных стендовых условиях обычным способом возможно определение только функции W_{Δ} (при $\delta \varphi = 0$). Прямое определение функции W_{φ} потребовало бы для поддержания постоянного перепада давления ($\delta (\Delta p) = 0$) реализации в стендовых условиях нулевых импедансов в конечных сечениях регулятора (установка на входе и выходе регулятора бесконечно больших емкостей, применение средств измерения расхода с нулевым акустическим сопротивлением и т. п.). Поэтому функцию W_{φ} определяют расчетным путем по результатам двух частотных испытаний.

Первое из них проводится при постоянной площади проходного сечения регулятора ($\delta \varphi = 0$), а возмущением является перепад давления на регуляторе, задаваемый пульсатором. По измеренным величинам расхода G и перепада давления Δp из уравнения (1) определяется функция W_{Δ} . Во втором испытании возмущение задается по площади проходного сечения ($\varphi = \text{var}$). При этом вследствие влияния присоединенных стендовых магистралей переменным является и перепад давления на регуляторе ($\Delta p = \text{var}$). По измеренным в ходе второго испытания величинам — площади φ , перепада Δp и расхода G — и известной функции W_{Δ} из уравнения (1) определяется передаточная функция W_{φ} .

Рассмотренный способ определения передаточных функций регулятора уже не является прямым, однако как и пря-

мой способ требует для своего осуществления двух испытаний по каждому из входов в систему.

Применение метода, изложенного в работе [1], позволяет проводить испытание только по одному входу с одним генератором колебаний, используя взаимодействие регулятора со стендом для косвенного определения передаточной функции W_{φ} .

Методика испытаний состоит в следующем.

Генератор синусоидальных колебаний подключается ко входу $\delta\varphi$ регулятора (рис. 1). Изменение расхода δG вследствие влияния присоединенной стендовой магистрали (передаточная функция Z) приводит к появлению сигнала $\delta(\Delta p)$

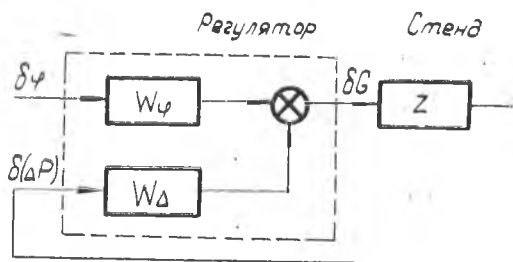


Рис. 1. Структурная схема взаимодействия регулятора со стендовой системой

на другом входе регулятора. Проводится два частотных испытания, каждое из которых отличается передаточной функцией Z стендовых магистралей. Это достигается, например, изменением длины подводящего трубопровода после первого испытания. В процессе каждого испытания регистрируются величины $\delta\varphi$, $\delta(\Delta p)$, δG , по которым строятся частотные характеристики $\frac{\delta(\Delta p)}{\delta\varphi}$ и $\frac{\delta G}{\delta\varphi}$. Далее по результатам обоих испытаний определяются искомые частотные характеристики W_{φ} и W_{Δ} следующим образом:

$$W_{\Delta} = \frac{\left(\frac{\delta G}{\delta\varphi}\right)_2 - \left(\frac{\delta G}{\delta\varphi}\right)_1}{\left(\frac{\delta\Delta p}{\delta\varphi}\right)_2 - \left(\frac{\delta\Delta p}{\delta\varphi}\right)_1}; \quad (2)$$

$$W_{\varphi} = \frac{\left(\frac{\delta G}{\delta\varphi}\right)_1 \left(\frac{\delta\Delta p}{\delta\varphi}\right)_2 - \left(\frac{\delta G}{\delta\varphi}\right)_2 \left(\frac{\delta\Delta p}{\delta\varphi}\right)_1}{\left(\frac{\delta\Delta p}{\delta\varphi}\right)_2 - \left(\frac{\delta\Delta p}{\delta\varphi}\right)_1}. \quad (3)$$

Выражения (2) — (3) являются решением системы операторных уравнений

$$\left. \begin{aligned} (\delta G)_1 &= W_\varphi (\delta \varphi)_1 + W_\Delta (\delta \Delta p)_1; \\ (\delta G)_2 &= W_\varphi (\delta \varphi)_2 + W_\Delta (\delta \Delta p)_2, \end{aligned} \right\} \quad (4)$$

где индекс обозначает номер испытания.

Установим связь между погрешностью измеряемых в процессе испытаний величин и погрешностью искомых передаточных функций.

Полагая законы распределения измеряемых величин нормальными, математическое ожидание искомых функций можно определить по формулам (2) и (3), подставляя в них математические ожидания измеряемых величин.

Тогда для W_Δ имеем

$$W_\Delta = \frac{\left(\frac{\delta \bar{G}}{\delta \varphi}\right)_2 - \left(\frac{\delta \bar{G}}{\delta \varphi}\right)_1}{\left(\frac{\delta \Delta p}{\delta \varphi}\right)_2 - \left(\frac{\delta \Delta p}{\delta \varphi}\right)_1}. \quad (5)$$

Рассматривая W_Δ как функцию четырех независимых комплексных величин, ее дисперсию можно определить по формуле [2]

$$D(W_\Delta) = \sum_{i=1}^4 \left| \frac{\partial W_\Delta}{\partial X_i} \right|^2 D(X_i),$$

где X_i — один из комплексных аргументов функции $W_\Delta = W_\Delta(X_1, \dots, X_4)$.

Относительная величина дисперсии

$$\frac{D(W_\Delta)}{|W_\Delta|^2} = \frac{1}{|W_\Delta|^2} \sum_{i=1}^4 \left| \frac{\partial W_\Delta}{\partial X_i} \right|^2 \frac{D(X_i)}{|X_i|^2} |X_i|^2$$

или

$$\frac{D(W_\Delta)}{|W_\Delta|^2} = \frac{1}{|W_\Delta|^2} \frac{D(X)}{|X|^2} \sum_{i=1}^4 \left| \frac{\partial W_\Delta}{\partial X_i} \right|^2 |X_i|^2, \quad (6)$$

если считать одинаковыми относительные погрешности измеряемых величин:

$$\frac{D(X_i)}{|X_i|^2} = \frac{D(X)}{|X|^2} = \text{idem.}$$

Дифференцируя функцию W_Δ (2) по каждому из аргументов и подставляя выражения для производных в формулу (6), после преобразований получим

$$\frac{D(W_\Delta)}{|W_\Delta|^2} = \frac{D(X)}{|X|^2} \left[\frac{|\frac{\delta \bar{G}}{\delta \varphi}|_1^2 + |\frac{\delta \bar{G}}{\delta \varphi}|_2^2}{\left| \left(\frac{\delta \bar{G}}{\delta \varphi} \right)_2 - \left(\frac{\delta \bar{G}}{\delta \varphi} \right)_1 \right|^2} + \frac{|\frac{\delta \Delta p}{\delta \varphi}|_1^2 + |\frac{\delta \Delta p}{\delta \varphi}|_2^2}{\left| \left(\frac{\delta \Delta p}{\delta \varphi} \right)_2 - \left(\frac{\delta \Delta p}{\delta \varphi} \right)_1 \right|^2} \right]. \quad (7)$$

Выражение (7) связывает относительные погрешности измеряемых величин X_i и искомой величины W_Δ .

Математическое ожидание и относительная погрешность функции W_φ определяется аналогично, исходя из формулы (3):

$$W_\varphi = \frac{\left(\frac{\delta \bar{G}}{\delta \varphi} \right)_1 \left(\frac{\delta \Delta p}{\delta \varphi} \right)_2 - \left(\frac{\delta \bar{G}}{\delta \varphi} \right)_2 \left(\frac{\delta \Delta p}{\delta \varphi} \right)_1}{\left(\frac{\delta \Delta p}{\delta \varphi} \right)_2 - \left(\frac{\delta \Delta p}{\delta \varphi} \right)_1}, \quad (8)$$

$$\frac{D(W_\varphi)}{|W_\varphi|^2} = \frac{D(x)}{|x|^2} \frac{1}{|W_\varphi|^2} \frac{\left| \frac{\delta \Delta p}{\delta \varphi} \right|_2^2 \left| \frac{\delta \Delta p}{\delta \varphi} \right|_1^2}{\left| \left(\frac{\delta \Delta p}{\delta \varphi} \right)_2 - \left(\frac{\delta \Delta p}{\delta \varphi} \right)_1 \right|^2} \left[\frac{\left| \frac{\delta \bar{G}}{\delta \varphi} \right|_2^2}{\left| \frac{\delta \Delta p}{\delta \varphi} \right|_2^2} + \frac{\left| \frac{\delta \bar{G}}{\delta \varphi} \right|_1^2}{\left| \frac{\delta \Delta p}{\delta \varphi} \right|_1^2} + 2|W_\Delta|^2 \right] \quad (9)$$

или

$$\begin{aligned} \frac{D(W_\varphi)}{|W_\varphi|^2} &= \frac{D(x)}{|x|^2} \frac{\left| \frac{\delta \Delta p}{\delta \varphi} \right|_2^2 \left| \frac{\delta \Delta p}{\delta \varphi} \right|_1^2}{\left| \left(\frac{\delta \bar{G}}{\delta \varphi} \right)_1 \left(\frac{\delta \Delta p}{\delta \varphi} \right)_2 - \left(\frac{\delta \bar{G}}{\delta \varphi} \right)_2 \left(\frac{\delta \Delta p}{\delta \varphi} \right)_1 \right|^2} \times \\ &\times \left[\frac{\left| \frac{\delta \bar{G}}{\delta \varphi} \right|_1^2}{\left| \frac{\delta \Delta p}{\delta \varphi} \right|_1^2} + \frac{\left| \frac{\delta \bar{G}}{\delta \varphi} \right|_2^2}{\left| \frac{\delta \Delta p}{\delta \varphi} \right|_2^2} + 2 \frac{\left| \left(\frac{\delta \bar{G}}{\delta \varphi} \right)_2 - \left(\frac{\delta \bar{G}}{\delta \varphi} \right)_1 \right|^2}{\left| \left(\frac{\delta \Delta p}{\delta \varphi} \right)_2 - \left(\frac{\delta \Delta p}{\delta \varphi} \right)_1 \right|^2} \right]. \quad (10) \end{aligned}$$

С целью оценки ожидаемых величин погрешности проводилось моделирование испытания регулятора на АВМ типа МН-7 при следующих исходных данных:

$$W_\varphi = \frac{1}{T_2^2 p^2 + T_1 p + 1}; \quad W_\Delta = \frac{T_2^2 p^2 + T_1 p}{T_2^2 p^2 + T_1 p + 1}; \quad Z_1 = \frac{1}{T_0 p + 1}; \quad Z_2 = 0,$$

где $T_1 = 2,8 \cdot 10^{-3} \text{ с}$, $T_2^2 = 1,5 \cdot 10^{-5} \text{ с}^2$, $T_0 = 10^{-3} \text{ с}$.

По измеренным в результате частотных испытаний на модели АФЧХ $\delta G / \delta \varphi$ и $\delta \Delta p / \delta \varphi$ для двух значений Z (Z_1 и Z_2) определялась АФЧХ W_Δ . Далее, на основании (7) вычислялся коэффициент чувствительности относительно среднеквадратического отклонения АФЧХ W_Δ к относительному среднеквадратическому отклонению измеряемых АФЧХ;

$$K = \frac{\sigma(W_{\Delta})}{|W_{\Delta}|} : \frac{\sigma(X_i)}{|X_i|} = \sqrt{\frac{D(W_{\Delta})}{|W_{\Delta}|^2} : \frac{D(X_i)}{|X_i|^2}} =$$

$$= \sqrt{\frac{\left| \frac{\partial \bar{G}}{\partial \varphi} \right|_1^2 + \left| \frac{\partial \bar{G}}{\partial \varphi} \right|_2^2}{\left| \left(\frac{\partial \bar{G}}{\partial \varphi} \right)_2 - \left(\frac{\partial \bar{G}}{\partial \varphi} \right)_1 \right|^2} + \frac{\left| \frac{\partial \Delta p}{\partial \varphi} \right|_1^2 + \left| \frac{\partial \Delta p}{\partial \varphi} \right|_2^2}{\left| \left(\frac{\partial \Delta p}{\partial \varphi} \right)_2 - \left(\frac{\partial \Delta p}{\partial \varphi} \right)_1 \right|^2}} \quad (11)$$

Характер изменения коэффициента чувствительности по частоте определяется величиной передаточной функции стеновых магистралей Z и ее изменением ΔZ во втором испытании. При принятых значениях Z и ΔZ наиболее точных результатов следует ожидать на частотах более 30 Гц (рис. 2), где среднеквадратическое отклонение АФЧ W_{Δ} примерно в два раза превышает относительное среднеквадратическое отклонение измеряемых АФЧ.

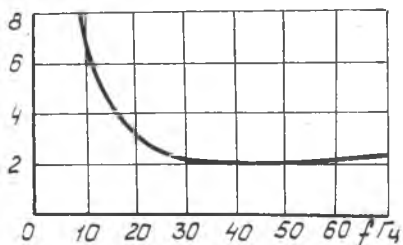


Рис. 2. Коэффициент чувствительности относительного среднеквадратического отклонения АФЧ W_{Δ} к относительному среднеквадратическому отклонению измеряемых АФЧ

Л и т е р а т у р а

1. Šorin V. P. Eksperimentalno odredjivanje korekcija frekventnih karakteristika složenih hidrauličkih mreža (posredna metoda). Hidraulički i pneumatski sistemi upravljanja i prenosnici snage, Beograd, 1974.
2. Вентцель Е. С. Теория вероятностей. М., «Наука», 1969, с. 576.